

京都大学農学部 正員 沢田敏男
 岡山大学農学部 正員 渡辺 忠
 同 正員 藤井弘章

1. はじめに

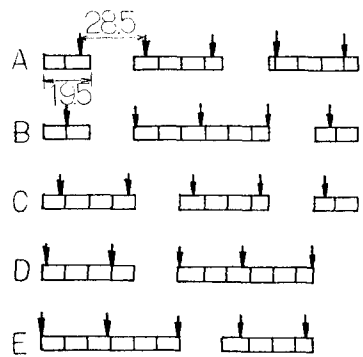
締固め機械としてブルドーザを用いた場合の地中応力の測定結果およびその応力発生の特性についての考察結果について報告する。ブルドーザ(以後BULと略記)のような無限軌道型の車輌の走行性能の研究は比較的多く、農用、軍用面からは、トラフィカビリティを中心としたBekkar¹⁾の流れが一般的であり、施工面からもかなりの研究がある。また締固めという觀点からの応力の測定例もスエ野ら²⁾、Bernhard³⁾ら先駆的な研究の他にもいくつがある。ここでは締固め機構を知ろうとして、フィルダムの締固めに用いる何種かの施工機械について、地中に発生する応力を測定した結果、それらと比較してとくにBULの特性について気付いた点を述べる。

2. ブルドーザの特性

BULは他のローラと異なり振動を発生させる。他のローラでも速度が大きくなったり、地盤が不整でなると振動が生ずるか、一般に正弦波形の組み合せた型で表される。ところがBULの場合には既にいくつかの報告でみられるように一見不規則振動が多い(Fig. 4)。これは懸架系のばねの不足だけではなくBULの特徴な構造によるものとしてよい。BULの全荷重はトラックフレームに懸架され5ヶの下転輪を通じて数十枚の履板に伝達されている。起動輪、遊動輪はやや高い位置にあるので、完全に剛な平地であれば、接地圧は下転輪直下の履板のみに生ずることでよいであろう。しかし締固め中の地盤では土は沈下するので一般に起動輪、遊動輪下の履板にも接地圧が生じている。したがって地盤との接地状態によって接地圧は異なる。たとえば実験に供したBUL(三菱BD-II)は総重量11t、履板1枚は巾46cm、進行方向の長さ19.5cm、履帶の接地長214cmである。総重量と履帶の接地面積で割ると、公称接地圧の 0.56 kN/cm^2 と等しく、下転輪に載荷され、その直下に1枚づつ履板があるとすれば $\frac{1}{2}$ は 1.23 kN/cm^2 となり、起動輪、遊動輪も載荷しているとすると $\frac{1}{2}$ は 0.88 kN/cm^2 、さらに $\frac{1}{2}$ が完全にWalk outしていれば、 11.95 kN/cm^2 に達する。

さらにBULは履板については直接荷重であるので、動輪と履板の間で複雑な挙動をすると思われる。そこで地中の仕事の負担の応力変動を簡単なモデルをもとに考察する。すでに動荷重に対しても静力学的な手法を用いて土中の応力伝播の手法を適用して、比較的好結果を得たので、こゝでも静力学的な手法を適用する。次のように仮定する。(1)仕事の履板のどこに転輪が載荷されても、その履板が撓まず、その荷重は等分布荷重として地盤へ伝わる。(2)ある転輪がある履板上にあるとき、その荷重には他の履板に無関係である。(3)転輪の載った履板は鉛直に沈下し、爪は完全に埋没している。そしてこの地中の仕事地の地表面を原点に選び、それは下向きを正とする。 ρ は $(0, 0, z)$ である。履板の大きさを $2a \times 2b$ 、この中心位置 (x_0, y_0) 、集中荷重 P_0 として作用する動輪たの ρ に対する位置を $(x_h, y_h, 0)$ とする。X方向の中心位置は、履板のそれと一緒にするから $x=x_0$ である。ま

Fig 1



た性質の履板を通して伝播される分布荷重 P_i は転輪の位置 (X_i, Y_i) によって定まり、ある瞬間 t の接地圧は次のようにならわせる。

$$g = g(X_i, Y_i, y_i; t) = \begin{cases} P_i & : t_L(k) < t < t_{NL}(k) \\ 0 & : t_{NL}(k) < t < t_L(k+1) \end{cases}$$

ここで、 $t_L(k)$ ：転輪 k が履板上に移行する瞬間の時間、 k は整数で $k=1$ のとき $t_L=0$ 、 t_{NL} ：転輪 k が履板(i)から離れる瞬間の時間、よって $t_{NL}(k)=t_L(k+1)$ 。転輪の向隅を l_x 、履板進向方向の長さを $2l$ 、転輪転輪の幅帶に対する相対走行速度を v_x とすれば $t_L(k)-t_L(k)=l_x/v_x$ 、 $t_{NL}(k)-t_L(k)=(l_x-2b)/v_x$

である。 $a \times b$ の等分布長方形荷重は $30\sigma_g/f$ で、
 $m = b/a$ 、 $n = z/a$ とすれば

$$f = \frac{1}{2\pi} \left[\frac{mn}{\sqrt{1+m^2+n^2}} \cdot \frac{1+m^2+n^2}{(1+n^2)(m^2+n^2)} + \sin^{-1} \frac{m}{\sqrt{m^2+n^2}} \right]$$

である。丁度地中応力 $\sigma_z(t)$ は、この荷重 P_i より生じ、その載荷面形によつて支配せられる

で $f(x_j, y_j, a, b, z)$ である。ここで f は長方形荷重によつて生ずる地中応力を求める関数である。よつて $\sigma_z(t)$ は

$$\sigma_z(t) = \sum_i g(X_i, Y_i, y_i; t) \cdot f(x_j, y_j, z, a, b)$$

であり、 i は転輪の位置を示す数である。これを固解法で求めてみる。地盤が完全に水平で、全荷重から 1 枚の履板に載荷され 1 枚の履板に 1 つの転輪があるとすれば、Fig 1 のような 5 つの型が考えられ、この荷重型かわりによつて変化する。この 5 つの型を図のように A ~ E とすれば、C は A の、E は D の X 軸対称の型であるから、基本型は A, B, D の 3 つの型にあたり、この $z = 20$ (GL - 20) cm の応力分布は Fig 2 のようになる。 V が一定ならば、 $l_x = t_L/v_x$ 、 $l_{NL} = t_{NL}/v_x$ として距離に換算できる。横軸に l をとり、縦軸に σ_z/σ_g をとつて、それぞれの l_x, l_{NL} に対する応力分布を求めると、Fig 3 が得られる。与えられた荷重は、時間の関数であり、これによつて生ずる応力はいくつかのパルスの重ね合わせたような矩形波応力になる。Fig 3-1 は、下転輪のみの荷重かかり、履板中心と土圧計中心が一致してゐる場合、Fig 3-2 は同じく履板先端が土圧計直上にある場合の理論応力変動曲線である。このように簡単な仮定からでも応力はパルスの組合せによる一様の振動が生ずることがわかる。

3. 実験方法

5) 9)

実験は既述したようバフィルダムの現場で行ない、使用土はコア用土である粘性土(Cr)、ランダム用土であるレキ率の多い粘性土(Rm)、フィルター用土の砂(Fr)をやトランシーション用土であるロツク(Tr)の 4 種の土に対して、タシピングローラ(TA)の牽引の有無、速度、層厚、含水比などを換えて行ない応力測定の他密度、沈下量、貫入抵抗を測定した。土圧計はガールソン型で電磁オシログラフ、データレコーダで記録解析した。

4. 実験結果および考察

応力の測定結果の例をFig.4に示す。Fig.4のピ-クがFig.3のように階段状ではないのはA, B, C, Dの力の波形が急激に変化するのではなく、動輪、履帶の関係からさらにいくつもの段階を経て徐々に力が変化することと、BUL内部のNoiseの発生、地盤の弾性的性質の影響などによるためと思われる。Fig.3からみるとBULによって発生する大きな波はおおむね5~7個生じていろとしてよく、とくにNo.1はピ-クの鋭さを除いてはFig.3と似ているとしてよい。力の変動は前述のように動輪の移動によるところは、みかけの振動数は動輪と履板との相対速度と密接な関係がある筈である。そこで関係を調べるためにBULの実測速度(V_R)と振動数の関係をFig.7に示す。この①, ②の仮定が有効とすれば、ある履板に動輪が載荷されてない時間の最大は転輪間で、最小は転輪と逆転輪間で、それぞれ、
 $\dot{\tau} = V / (0.295 - 0.195) = 11.6$
 $\dot{\tau} = V / (0.254 - 0.295) = 4.6$

である。さらに動輪の移動によって、履板が上下に移動するとき動輪の移動速度がそのままパルスとなるから $\dot{\tau} = V / 0.54 = 1.85 \text{ v}$ となる。これらの式をFig.6に記入すると下限値とおおむね一致する。

このように走時曲線の振動数の大きな波は、理論直(Fig.6)から得られる載荷のパルスによるとしてよいと思われる。振動数の大きな波はBUL

の内部の影響、すなはちエンジン伝達系、および履板のがたつき、および履帶と地盤との衝撃、上下運動によって生ずる振動と思われる。振動数 $\dot{\tau}$ は、角速度 ω とするとき一般に、 $\dot{\tau} = \omega / 2\pi = v / (2\pi r)$ であり、 $\dot{\tau}$ が個の回車率の平均偏心半径であるとすれば、定数と考えられるから $\dot{\tau}$ はまた(1)に關する一次式になる。ここで共振の影響を考えてみる。BULが4速($v = 3.0 \text{ m/s}$)で振動数は20Hzに満たない。これに対して共振振動数 $\omega_{res} = 25 \text{ Hz} \sim 29 \text{ Hz}$

Rm. 27~32, Tr. 30~38, Fr. 16~27 であり減衰比が大きいから地盤の共振による影響は、Cr. 5~25%, Rm. 10~15%, Tr. 25~60%増となるが、実測応力はさらに大きな値を示している。したがってBULの地中応力は、地盤の共振振動数によるところより、BUL内部で発生する力が増大するため生ずるとしてよいであろう。ただしTrは共振の影響がかなり表われていると思われる。

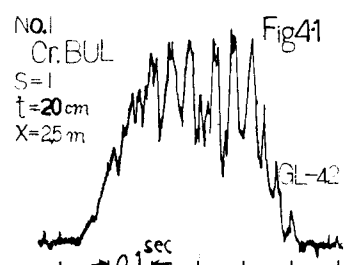
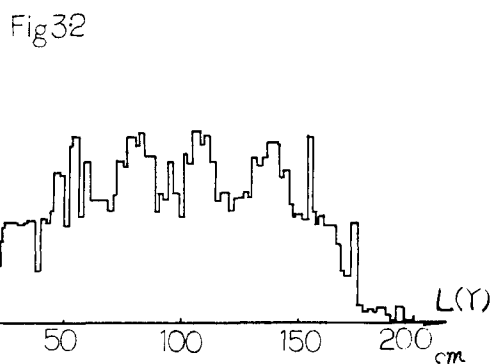
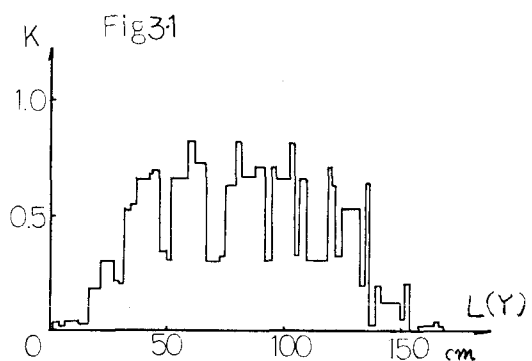


Fig.42
No.101
Tr P=2



Fig.6は、横軸にX方向の距離をとり、縦軸にZととって実測応力をプロットした例である。アルトーザ中心から右方に実測値による実線を、左方に接地圧を0.5 kg/cm²とした時の理論値を記入している。いずれの場合も実測値の方が理論値、約10倍前後の値を示し、他の締固め機械の理論値と実測値の比より、著しく大きい。長方形垂直荷重のみによってこれらの地中応力が発生しているとすれば理論曲線から最大45~55 kg/cm²の荷重が地表に発生していることになる。また応力の大きさからみるとかなり牽引と無牽引と大きい差はない。CrよりTrの方が、はるかに発生応力が大きくTrもまたかなり大きな値を示す。既述したようにTrが大きいのは地盤~車両の振動による影響によるものであり、Trが大きいのは沈下および共振の影響によると思われる。

5. おわりに

このようにBULの振動は、いわゆる不規則振動の他に、構造的な規則振動とすべきものの比重要が大きい。したがってBULを使用する時は締固めだけではなく一般の設計施工においては、公許接地圧だけではなく、BULの構造輪の間隔、履板の大きさ、リンクの形状、走行速度さらに土性(せん断強度→地耐力、動的性状)など合わせて考えるべきである。そして高座載荷とはりえ土性、走行状態によって、公許接地圧の10倍以上の値が生ずることがあり、BULの使用については、長短内用があることに注意すべきであろう。中四国農政局勝美園拓事業所および中国土木西原作業所の関係各位に謝意を表す。一部に文部省科学研究費を仰いだ事を謝す。

